

### (III - 48) 原位置における圧密パラメータの推定法

防衛大学校 (正) 正垣 孝晴・○ 松竹 延浩

#### 1. はじめに

標準圧密試験の有効土被り圧下の体積ひずみ  $\varepsilon_v$  を用いた原位置の圧密パラメータの推定法を示し我が國の異なる10の堆積地の粘性土について、 $I_p$ , OCR, 堆積地がこの推定法に与える影響を検討した<sup>1)</sup>。この検討で用いた  $\varepsilon_v$  は、JIS A1217に規定された圧密試験とその整理法に依っているため、 $\varepsilon_v$  は載荷24時間後(STD)の鉛直ひずみに相当する  $e$  と  $\log p$  の関係から得ていた。Mesri, et al<sup>2)</sup> は、一次圧密終了時(EOP)に相当する鉛直ひずみ下の  $e$  と  $\log p$  の関係が実測沈下を精度よく説明できることを示している。本稿では、STDとEOPによる  $\varepsilon_v$  が原位置の圧密パラメータに与える影響を検討する。

#### 2. 供試土と試験方法

供試土は、固定ピット式サンプラーで採取した  $I_p = (25.8 \sim 57.2)\%$  の桑名粘土<sup>3)</sup> である。指標的性質を表-1に示す。試料の乱れは、サンプルチューブの刃先に試料変形装置<sup>3)</sup>を装着した後、押し出し装置によって与えた。チューブ内径の断面積に対する攪乱装置の断面積の比  $R_s$  は、1.0, 0.95, 0.9, 0.8, 0.7である。これらの試料は、本稿でそれぞれA, B, C, D, Eと名付けている。試料Fは練り返し土であり、Aは“乱さない土”とみなしている。圧密試験と一軸圧縮試験に用いる供試体寸法は、それぞれ高さ  $h$  20mm、直径  $d$  60mmと  $h$  35mm、 $d$  15mmのS供試体<sup>4)</sup>である。圧密係数  $c_c$  と圧密降伏応力  $\sigma_{v0}'$  は、それぞれTaylorとMikasa法によった。

#### 3. $e$ - $\log p$ , $\sigma_{v0}'$ , $c_c$ , $\varepsilon_v$ に及ぼすSTDとEOPの影響

図-1は、K-18の試料Aに対する  $e$  と  $\log p$  の関係である。STDとEOPによる  $\varepsilon_v$ ,  $\sigma_{v0}'$ , 圧縮指數  $c_c$  もまた図-1の表にまとめられている。これらの値は、EOPの方がSTDのそれより小さくなっている。 $\varepsilon_v$ (STD)に対する  $\varepsilon_v$ (EOP)と  $I_p$  の関係が図-2に示される。 $I_p$  が大きくなると  $\varepsilon_v$ (EOP)/ $\varepsilon_v$ (STD)値は小さくなる傾向がみられるが、同じ  $I_p$  下で試料の乱れがこの値に与える一定の傾向は明らかでない。このことは  $\varepsilon_v$ (EOP)/ $\varepsilon_v$ (STD)と試料Aに対する各試料の  $q_u$  比の関係を整理した図-3においても明瞭である。すなわち、図-3において、 $\varepsilon_v$ (EOP)/ $\varepsilon_v$ (STD)値は総ての試料に対して1より小さな値を示すが、 $q_u$  比に依存せずほぼ一定値と判断される。 $c_c$ (EOP)/ $c_c$ (STD),  $\sigma_{v0}'$ (EOP)/ $\sigma_{v0}'$ (STD)と  $q_u$  比の関係が、それぞれ図-4, 5に示される。 $q_u$  比=1.0の乱さない試料において、

表-1 供試土の指標的性質

Soil	Kuwana						
	K-3	K-9	K-10	K-11	K-13	K-18	K-21
Depth (m)	12.0	18.0	19.0	20.0	22.0	26.0	29.0
Sand (%)	1.2	5.8	18.5	1.9	0.5	2.4	3.8
Silt (%)	93.6	38.0	47.7	46.4	53.0	81.5	79.0
Clay (%)	5.2	56.2	33.8	51.7	46.5	16.1	17.2
$I_p$ (%)	50.6	64.2	87.1	79.5	95.2	91.5	78.3
$I_p$ (%)	25.8	36.0	50.8	44.1	57.2	53.6	42.9

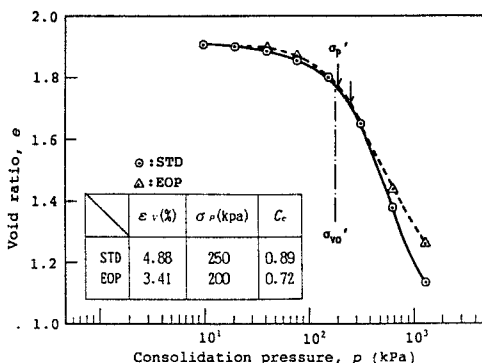


図-1  $e$  と  $\log p$  の関係 (K-18, 試料A)

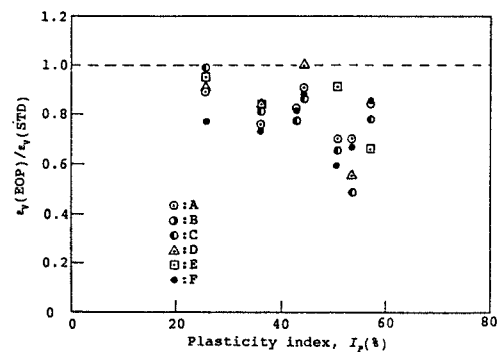


図-2  $\varepsilon_v$ (EOP)/ $\varepsilon_v$ (STD)と  $I_p$  の関係

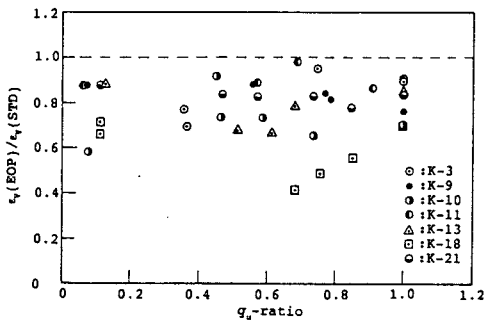


図-3  $\epsilon_v(EOP)/\epsilon_v(STD)$  と  $q_u$ 比の関係

$c_c(EOP)/c_c(STD)$  値は、(0.50～0.96)の範囲にあり、平均値は0.77である。EOPの $c_c$ は、STDのそれより小さいが、この値と $I_p$ との間には一定の関係は見い出せない。また、 $c_c(EOP)/c_c(STD)$  値は $q_u$ 比に依存しない。一方、図-5において、 $q_u$ 比=1.0下の $\sigma'_p(EOP)/\sigma'_p(STD)$  値は(0.64～1.04)の範囲にあり、平均値は0.83である。EOPの $\sigma'_p$ は、 $q_u$ 比=(0.5～1.0)の領域で、STDのそれより小さな値を与えるが、 $I_p$ との間には特徴的な傾向はみられない。 $q_u$ 比が0.5より小さな領域において、 $\sigma'_p(EOP)/\sigma'_p(STD)$  値は1.0を中心に大きく変動している。試料の乱れが大きい場合、 $e-\log p$ 曲線から得た $\sigma'_p$ の物理的意義を考えると、このような挙動を一定の傾向として見ることには無理がある。

#### 4. 原位置の圧密パラメータへの補正値

図-6, 7は、それぞれ $\eta_1$ ,  $\eta_2$ と $I_p$ の関係であり、 $\epsilon_v$ の範囲を6区分してプロットしている。ここで $\eta_1$ ,  $\eta_2$ は、それぞれ原位置の $\sigma'_p(1)$ ,  $C_c(1)^{-1}$ を試験で得た $\sigma'_p$ ,  $C_c$ で除した値であり、 $\sigma'_p$ ,  $C_c$ を原位置のそれに補正する係数を意味している。 $\eta_1$ ,  $\eta_2$ は、同じ $\epsilon_v$ の領域においても $I_p$ によって変化している。図-6, 7は試料の $I_p$ と $\epsilon_v$ から原位置の $\sigma'_p(1)$ ,  $C_c(1)$ を与える補正係数を得るために用いることができる。

#### 5. おわりに

異なる堆積地のデータの蓄積や実測の沈下データとの検証による補正係数の精緻化等は今後の課題である。

#### 参考文献

- 1) 正垣、サンプリングシンポジウム論文集、pp. 165～172, 1995.
- 2) Mesri. et al, Geotech. Special Pub. No. 40, Vol. 1, pp. 8～56, 1994.
- 3) Shogaki, T and Kaneko, M, Soils and Foundations, Vol. 34, No3, pp. 1～10, 1994.
- 4) Shogaki, T, Proc. of Int. Conf. on Geo-Coast, pp. 85～88, 1991

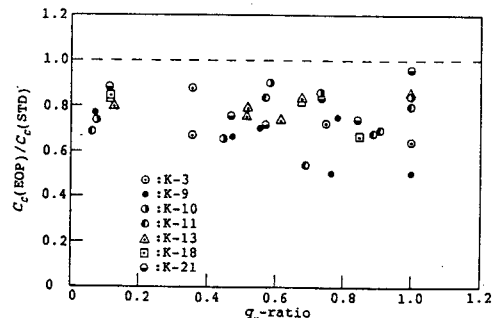


図-4  $c_c(EOP)/c_c(STD)$  と  $q_u$ 比の関係

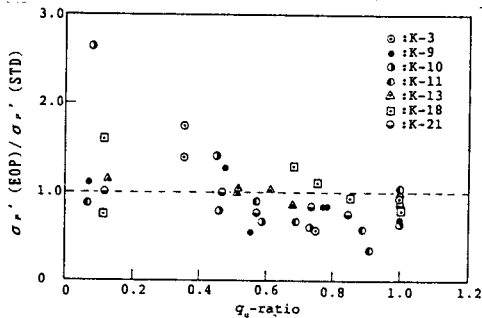


図-5  $\sigma'_p(EOP)/\sigma'_p(STD)$  と  $q_u$ 比の関係

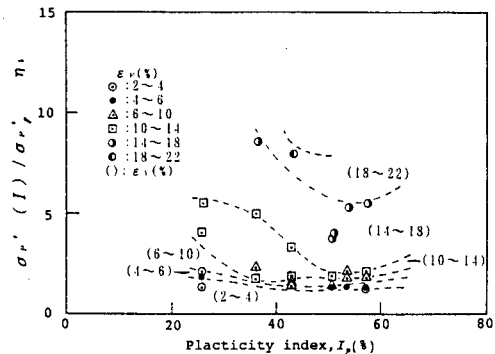


図-6  $\eta_1$  と  $I_p$  の関係

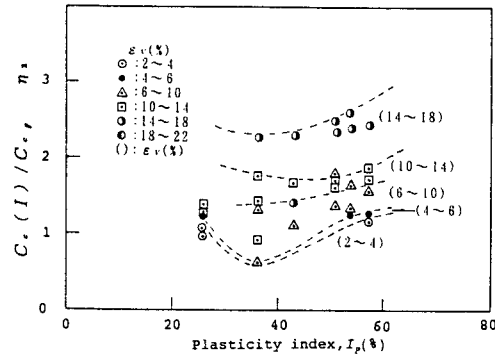


図-7  $\eta_2$  と  $I_p$  の関係